

2,4-二硝基咪唑铜配合物 $[\text{Cu}(\text{DNI})_2(\text{H}_2\text{O})] \cdot 3\text{H}_2\text{O}$ 的制备和晶体结构

崔 荣¹, 郑晓东¹, 毛治华², 张志忠¹, 封利民¹, 姚逸伦¹, 李洪丽¹, 姜俊¹

(1. 西安近代化学研究所, 陕西 西安 710065; 2. 四川大学分析测试中心, 四川 成都 610041)

摘要: 通过2,4-二硝基咪唑(2,4-DNI)钠盐的水溶液与硫酸铜的水溶液反应, 制备出2,4-二硝基咪唑铜配合物; 采用自然挥发法培养出了适于X光结构测定的单晶,X射线衍射测定结果显示, 晶体属三斜晶系, 空间群为P-1, 晶体学参数为: $a=7.2560(10)\times 10^{-1}\text{ nm}$, $b=7.762(2)\times 10^{-1}\text{ nm}$, $c=16.685(3)\times 10^{-1}\text{ nm}$, $\alpha=87.13(3)^\circ$, $\beta=83.81(3)^\circ$, $\gamma=62.25(3)^\circ$, $V=826.8(3)\times 10^{-3}\text{ nm}^3$, $Z=2$, $D_c=1.871\text{ g}\cdot\text{cm}^{-3}$, $\mu=1.411\text{ mm}^{-1}$, $F(000)=470$, 最终偏离因子R为0.0388。根据红外光谱、元素分析和X射线衍射分析结果, 确定2,4-二硝基咪唑铜配合物的化学组成为 $\text{C}_6\text{H}_{10}\text{CuN}_8\text{O}_{13}$; 分子结构式为 $[\text{Cu}(\text{DNI})_2(\text{H}_2\text{O})_2] \cdot 3\text{H}_2\text{O}$ 。

关键词: 结构化学; 2,4-二硝基咪唑铜配合物; 制备; 晶体结构

中图分类号:TJ551; O627.42

文献标志码:A

文章编号: 1007-7812(2007)05-0027-04

Preparation and Crystal Structure of $[\text{Cu}(\text{DNI})_2(\text{H}_2\text{O})_2] \cdot 3\text{H}_2\text{O}$

CUI Rong¹, ZHENG Xiao-dong¹, MAO Zhi-hua², ZHANG Zhi-zhong¹

FENG Li-min¹, YAO Yi-lun¹, LI Hong-li¹, JIANG Jun¹

(1. Xi'an Modern Chemistry Research Institute, Xi'an 710065, China;

2. Analytical and Testing Centre of Sichuan University, Chengdu 610041, China)

Abstract: $[\text{Cu}(\text{DNI})_2(\text{H}_2\text{O})_2] \cdot 3\text{H}_2\text{O}$ was prepared by the reaction of the aqueous solution of sodium 2,4-dinitroimidazolate and copper sulfate. The single crystal of $[\text{Cu}(\text{DNI})_2(\text{H}_2\text{O})_2] \cdot 3\text{H}_2\text{O}$ suitable for X-ray determination was obtained by slow evaporation method. The single crystal structure of $[\text{Cu}(\text{DNI})_2(\text{H}_2\text{O})_2] \cdot 3\text{H}_2\text{O}$ has been determined by single crystal X-ray diffraction analysis. The crystal is triclinic, space group P-1 with crystal parameters of $a=7.2560(10)\times 10^{-1}\text{ nm}$, $b=7.762(2)\times 10^{-1}\text{ nm}$, $c=16.685(3)\times 10^{-1}\text{ nm}$, $\alpha=87.13(3)^\circ$, $\beta=83.81(3)^\circ$, $\gamma=62.25(3)^\circ$, $V=826.8(3)\times 10^{-3}\text{ nm}^3$, $Z=2$, $D_c=1.871\text{ g}\cdot\text{cm}^{-3}$, $\mu=1.411\text{ mm}^{-1}$, $F(000)=470$. The final deviation factor R is 0.0388. According to the analytical results of IR, the elemental analyses and X-ray diffraction, the chemical component of the 2,4-DNI copper complex is $\text{C}_6\text{H}_{10}\text{CuN}_8\text{O}_{13}$ and its formula is $[\text{Cu}(\text{DNI})_2(\text{H}_2\text{O})_2] \cdot 3\text{H}_2\text{O}$.

Key words: structural chemistry; copper complex of 2,4-DNI; preparation; crystal structure

引言

20世纪末国外开始研究2,4-二硝基咪唑(简称2,4-DNI)在含能材料领域的应用^[1-2], 研究发现, 其能量是HMX能量的80%, 比TATB高20%, 接近RDX, 摩擦感度和撞击感度与TATB相近, 热稳定性良好, 是一种高能、耐热、钝感炸药, 亦可用作

推进剂组分。近年来, 2,4-DNI金属配合物在推进剂方面的应用引起了有关工作者的极大兴趣, 但是关于2,4-DNI金属配合物的研究报道较少, 前苏联研究人员Barabanov V. P.等^[3-4]研究了2,4-DNI的钠、钾、银、镁、铈盐的红外光谱和电导性能; 郑晓东等^[5]研究了2,4-二硝基咪唑铅盐的合成及性能。本实验研究了2,4-DNI铜(Ⅱ)配合物的制备和晶体结构。

1 实验部分

1.1 仪器与实验条件

2,4-DNI 的铜配合物中碳、氮、氢元素含量用德国艾乐曼公司 Vario EL III 型 C、H、N、O、S 元素分析仪测定, 铜元素含量用热重法(TGA)确定。2,4-DNI 铜配合物的红外光谱用美国 Nicolet 公司 Nexus 870 型 FT-IR 光谱仪测定。晶体结构用荷兰 Enraf-Nonius 公司 CAD4 PDP11/44 型四圆单晶衍射仪测定, 使用 NRCVAX、SHELX、SHELX-97 和 Ortep-3 for Windows 1.076 程序进行数据还原、约化, 结构解析以及图形绘制。

1.2 主要原料

2,4-二硝基咪唑(2,4-DNI), 自制; 蒸馏水, 自制; 其他原料为市售分析纯试剂, 使用前未经处理。

1.3 单晶的制备和组成

将 2,4-DNI 分散于蒸馏水中, 搅拌下用质量分数为 5% 的氢氧化钠水溶液中和, 将反应液的 pH 值调节至 6.5~7.0, 反应体系逐渐变为橙色透明溶液; 加热至 60 ℃, 在搅拌下滴加硫酸铜溶液, 反应液中出现蓝灰色沉淀, 冷却后过滤, 得蓝色固体, 用蒸馏水精制两次, 再用质量分数为 95% 的乙醇煮洗 1 次, 产物于 40 ℃ 下真空干燥 24 h, 得蓝色粉状固体; 然后将其溶解于 2 次蒸馏水中, 配制成饱和溶液, 在室温下培养, 得到用于 X 光结构测定的蓝色单晶。

元素分析 ($C_6H_{10}O_{12}N_8Cu, \%$): 计算值, C 15.47, H 2.165, N 24.07, Cu 13.65; 实测值, C 15.67, H 2.256, N 24.12, Cu 13.46。

红外光谱图(KBr 压片)见图 1。从图 1 可看出, 3140 cm^{-1} 为咪唑芳香环的 CH 伸缩振动吸收峰, $755, 654\text{ cm}^{-1}$ 为咪唑芳香环的 CH 弯曲振动吸收峰, $1626, 1521, 1491, 1461\text{ cm}^{-1}$ 为咪唑芳香环的环骨

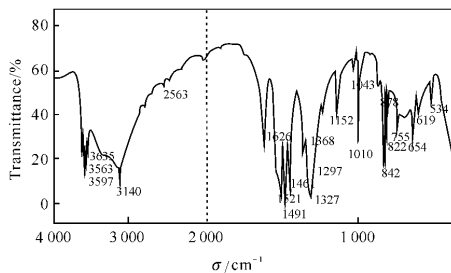


图 1 $[\text{Cu}(\text{DNI})_2(\text{H}_2\text{O})_2] \cdot 3\text{H}_2\text{O}$ 的红外光谱图

Fig. 1 IR spectrum of $[\text{Cu}(\text{DNI})_2(\text{H}_2\text{O})_2] \cdot 3\text{H}_2\text{O}$

架振动吸收峰, 1327 cm^{-1} 和 1491 cm^{-1} 分别为 NO_2 的对称和反对称伸缩振动吸收峰, $842, 822\text{ cm}^{-1}$ 为 NO_2 的弯曲震动吸收峰, $3597, 1626\text{ cm}^{-1}$ (OH) 处的尖锐红外吸收为分子内结晶水的特征吸收峰。

1.4 晶体结构测定

选取 $0.4\text{ mm} \times 0.3\text{ mm} \times 0.3\text{ mm}$ 的单晶, 在 NONIUS CAD4 型四圆单晶衍射仪上, 用数据收集程序 CAD4 (Enraf-Nonius)、 MoK_{α} X 射线 ($\lambda = 7.1073 \times 10^{-2}\text{ nm}$)、石墨单色器, 在 $10^\circ \leq \theta \leq 20^\circ$ 范围内, 用 25 个衍射点精确测定取向矩阵和晶胞参数, 以 $\omega/2\theta$ 方式扫描, 扫描速度为 $4.5^\circ/\text{min}$, 扫描范围 $10.96^\circ \leq 2\theta \leq 49.94^\circ$, h 为 $0 \sim 8$, k 为 $-8 \sim 9$, l 为 $-19 \sim 19$, 共收集独立衍射点 2869 个, 其中 $I > 26(I)$ 的 2647 个可观察点用于结构解析和修正。经分析, 晶体属三斜晶系, 空间群为 P-1, 晶胞参数为: $a = 7.2560(10) \times 10^{-1}\text{ nm}$, $b = 7.762(2) \times 10^{-1}\text{ nm}$, $c = 16.685(3) \times 10^{-1}\text{ nm}$, $\alpha = 87.13(3)$, $\beta = 83.81(3)$, $\gamma = 62.25(3)$, $V = 826.8(3) \times 10^{-3}\text{ nm}^3$, $Z = 2$, $D_c = 1.871\text{ g/cm}^3$, $\mu = 1.411\text{ mm}^{-1}$, $F(000) = 470$ 。衍射强度数据经 LP 因子校正及经验吸收修正。

用 MOLEN PC、SHELX-97 和 SIEMENS SHELXTL PC 程序进行数据还原、约化, 结构解析和图形绘制。所有非氢原子由直接法和差值 Fourier 合成法定出, 氢原子由差值 Fourier 合成法确定。

用块对角矩阵最小二乘法修正数轮后, 非氢原子用各向同性热参数、氢原子用各向异性热参数进行全矩阵最小二乘法精修。最终的偏离因子为 $R_1 = 0.0388$, $wR_2 = 0.1073$, 最终的差值 Fourier 合成图上电子密度峰的最小高度为 $-0.839 \times 10^3\text{ e/nm}^3$, 最大高度为 $0.641 \times 10^3\text{ e/nm}^3$ 。所得原子坐标参数及等效各向同性热因子、键长、键角分别列于表 1~3 中, 该配合物的晶体结构及其在晶胞中分子的堆积图见图 2 和图 3。

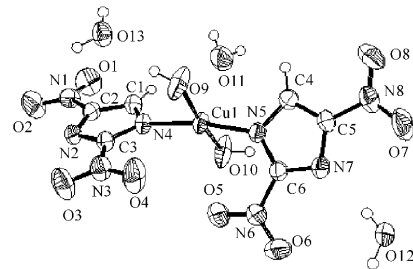


图 2 $[\text{Cu}(\text{DNI})_2(\text{H}_2\text{O})_2] \cdot 3\text{H}_2\text{O}$ 的晶体结构

Fig. 2 Crystal structure of $[\text{Cu}(\text{DNI})_2(\text{H}_2\text{O})_2] \cdot 3\text{H}_2\text{O}$

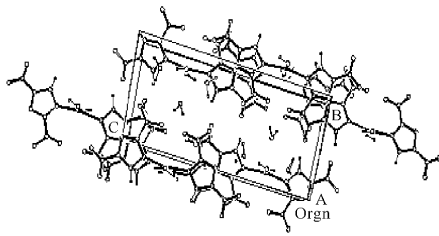
图3 晶胞中 $[\text{Cu}(\text{DNI})_2(\text{H}_2\text{O})_2] \cdot 3\text{H}_2\text{O}$ 的分子堆积图

Fig. 3 Packing of the molecular
 $[\text{Cu}(\text{DNI})_2(\text{H}_2\text{O})_2] \cdot 3\text{H}_2\text{O}$ in the crystal lattice

表1 原子坐标和各向同性温度因子

Table 1 Selected atom coordinates and isotropic
 thermal parameters

Atom	$x/10^4$	$y/10^4$	$z/10^4$	$U_{eq}/(10\text{ nm}^2)$
Cu	6815(1)	1371(1)	2500(1)	35(1)
O3	10815(5)	-3310(4)	280(1)	70(1)
O4	9923(5)	-2291(4)	3089(1)	77(1)
O5	7364(6)	-2287(4)	1912(1)	79(1)
O6	7486(6)	-3307(4)	720(1)	71(1)
O9	9402(4)	1585(5)	2467(1)	67(1)
O10	4013(4)	1588(5)	2533(1)	66(1)
O11	5091(5)	4832(4)	2502(1)	68(1)
O12	8260(4)	-2493(3)	-1262(1)	47(1)
O13	10781(4)	2489(3)	3737(1)	46(1)
N1	4937(5)	2638(4)	5732(1)	47(1)
N2	7632(4)	-32(3)	4937(1)	36(1)
N3	9711(4)	-2093(4)	3816(1)	49(1)
N4	6743(4)	1109(3)	3687(1)	35(1)
N5	7151(4)	1107(3)	1313(1)	35(1)
C1	5367(4)	2464(4)	4225(1)	37(1)
C2	5946(4)	1735(4)	4974(1)	34(1)
C3	8019(4)	-314(4)	4151(1)	34(1)
H9A	9538	1881	2933	80
H10A	3583	1884	2066	80

表2 部分键长

Table 2 Selected bond length

Bond	Bond length/ (10^{-1} nm)	Bond	Bond length/ (10^{-1} nm)
C1—H1a	0.960	H12a—O12	0.876
C1—N4	1.354	H12b—O12	0.815
C1—C2	1.372	H13a—O13	0.837
C2—N2	1.345	H13b—O13	0.855
C2—N1	1.428	N3—O4	1.214
C3—N2	1.319	N3—O3	1.221
C3—N4	1.339	N6—O6	1.215
C3—N3	1.441	N6—O5	1.218
C4—H4a	0.960	O3—N3	1.221

Bond	Bond length/ (10^{-1} nm)	Bond	Bond length/ (10^{-1} nm)
C4—N5	1.356	O4—N3	1.214
C4—C5	1.372	O5—N6	1.218
C5—N7	1.339	O6—N6	1.215
C5—N8	1.434	C6—N5	1.339
C6—N7	1.319	Cu1—O9	1.955
C6—N6	1.440	Cu1—O10	1.955
H9a—O9	0.850	Cu1—N4	1.977
H10a—O10	0.850	Cu1—N5	1.978

表3 部分键角

Table 3 Selected angles

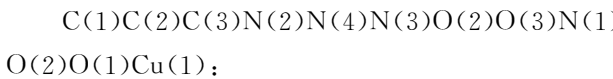
Bond	Bond angles/ $(^\circ)$	Bond	Bond angles/ $(^\circ)$
H1a—C1—N4	126.90	O3—N3—C3	118.04
H1a—C1—C2	126.75	C3—N4—C1	103.61
N4—C1—C2	106.35	C3—N4—Cu1	130.62
N2—C2—C1	112.32	C1—N4—Cu1	125.68
N2—C2—N1	120.87	C6—N—5C4	103.67
C1—C2—N1	126.80	C6—N5—Cu1	130.65
N2—C3—N4	116.79	C4—N5—Cu1	125.59
N2—C3—N3	121.06	O6—N6—O5	124.61
N4—C3—N3	122.14	O6—N6—C6	118.10
H4a—C4—N5	127.02	O5—N6—C6	117.27
H4a—C4—C5	126.92	C6—N7—C5	101.03
N5—C4—C5	106.06	H9a—O9—Cu1	109.38
N7—C5—C4	112.57	H10a—O10—Cu1	109.35
N7—C5—N8	121.04	H12b—O12—H12a	117.29
C4—C5—N8	126.38	H13a—O13—H13b	110.04
N7—C6—N5	116.67	O9—Cu1—O10	171.29
N7—C6—N6	121.16	O9—Cu1—N4	90.08
N5—C6—N6	122.15	O9—Cu1—N5	90.65
C3—N2—C2	100.93	O10—Cu1—N4	90.75
O4—N3—O3	124.37	O1—Cu1—N5	90.10
O4—N3—C3	117.58	N4—Cu1—N5	169.52

2 讨 论

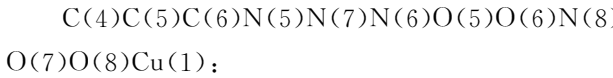
从图2、表2和表3可知,标题化合物的金属原子Cu与两个水分子的氧原子O9、O10和两个DNI环上的氮原子N4和N5配位,其键长分别为:1.955(6)× 10^{-1} nm 、1.955(3)× 10^{-1} nm 、1.977(4)× 10^{-1} nm 、1.978(5)× 10^{-1} nm ,这些键长是典型的配位键键长;各配位原子与中心Cu原子的6个键角分别为:171.29°、90.08°、90.65°、90.75°、90.10°、169.52°,介于90.08与171.29之间,该配合物为四配体的畸变平面四边形配位构型,如图2所示。因此,该

配合物的分子式应为 $[\text{Cu}(\text{DNI})_2(\text{H}_2\text{O})_2] \cdot 3\text{H}_2\text{O}$, 空间构型为四配体的平面构型。

分子中与中心铜原子配位的两个 DNI 所处平面的平面方程为:



$$6.5420x + 6.2194y + 1.0163z = 5.4741 \quad (\text{I})$$



$$6.5423x + 0.2986y + 1.0112z = 4.8456 \quad (\text{II})$$

由晶体结构分析程序 SHELX-97 计算得到平面 I 与平面 II 之间的夹角为 51.06°。

3 结 论

(1) 通过 2,4-二硝基咪唑(2,4-DNI)的钠盐水溶液与硫酸铜的水溶液反应,制备了 2,4-二硝基咪唑铜配合物。

(2) 采用自然挥发法培养出适于 X 光结构测定的单晶;X 光衍射测定结果表明,该晶体属三斜晶系,空间群为 P-1。

(3) 根据红外光谱、元素分析和 X 射线衍射分析结果,确定了 2,4-二硝基咪唑铜(II)配合物的化学组成为 $\text{C}_6\text{H}_{10}\text{CuN}_8\text{O}_{13}$, 分子式为 $[\text{Cu}(\text{DNI})_2(\text{H}_2\text{O})_2] \cdot 3\text{H}_2\text{O}$, 空间构型为四配体的平面构型。

(4) 确定了 $[\text{Cu}(\text{DNI})_2(\text{H}_2\text{O})_2] \cdot 3\text{H}_2\text{O}$ 分子中与中心铜原子配位的两个 DNI 环所处的平面夹

角为 51.06°。

参考文献:

- [1] Damavarapu R, Jayasuriya K, Vladimiroff J. 2,4-Dinitroimidazole—a less sensitive explosive and propellant made by thermal rearrangement of molten 1,4-dinitroimidazole: US,5387297[P]. 1995.
- [2] Doherty R M, Simpson R L. A comparative evaluation of several insensitive high explosives. Combustion and Detonation[C]// 28th International Annual Conference of ICT. Karlsruhe: ICT, 1997: 17-19.
- [3] Epishina L V, Slovetskii V I, Osipov V G, et al. Infrared spectra and structure of salts of nitroimidzoles [J]. Khim Geterotsikl Soedin, 1967 (4):716-723.
- [4] Barabanov V P, Tret Y A Y, Sharnin G P, et al. Lithium salt, potassium salt, rubidium salt, silver (+) salt, sodium salt studies of nitroimidzoles. IV Electric conductivity of metallic salts of nitro and halonito derivatives of imidazole in dimethylformamide [J]. Zh Obshch Khim, 1980, 50 (10):2318-2322.
- [5] 郑晓东, 崔荣, 李洪丽, 等. 2,4-二硝基咪唑铅盐的合成及性能[J]. 火炸药学报, 2006, 29(6):23-26. ZHENG Xiao-dong, CUI Rong, LI Hong-li, et al. Synthesis and properties of 2,4-dinitroimidazole lead salt [J]. Chinese Journal of Explosives and Propellants, 2006, 29(6):23-26.

(上接第 26 页)

参考文献:

- [1] 汪旭光. 乳化炸药[M]. 北京: 冶金工业出版社, 1993. WANG Xu-guang. Emulsion Explosives[M]. Beijing: Metallurgical Industry Press, 1993.
- [2] Cook M A. 工业炸药学[M]. 陈正衡, 孙姣花, 译. 北京: 煤炭工业出版社, 1987:152-193. Cook M A. The Science of Industrial Explosives[M]. Translated by Chen Zheng-heng, Sun Jiao-hua. Beijing: China Coal Industry Publishing House, 1987: 152-193.
- [3] 曹欣茂. 世界爆破器材手册[M]. 北京: 兵器工业出版社, 1999:1110-1112. CAO Xin-mao. World Explosive Materials Manual [M]. Beijing: Ordance Industry Publishing House, 1999:1110-1112.
- [4] 郑孟菊, 俞统昌, 张银亮. 炸药的性能及测试技术[M]. 北京: 兵器工业出版社, 1990: 237-257. ZHENG Meng-ju, YU Tong-chang, ZHANG Yin-liang. Property and Test Technology of Explosives [M]. Beijing: Ordance Industry Publishing House, 1990:237-257.
- [5] Muhamed S. Test Methods for Explosives[M]. New York: Springer, 1995:168-170.
- [6] 炸药作功能力试验方法.GB12436-1990[S]. 1990. Explosive Test Method-Power Determination-Lead Block Method. GB12436-90[S]. 1990.